

**ИССЛЕДОВАНИЕ СОПОЛИМЕРИЗАЦИИ АЛКЕНАЛКИННЫХ  
ПЕРЕКИСНЫХ МОНОМЕРОВ СО СТИРОЛОМ  
НА ГЛУБОКИХ СТАДИЯХ ПРЕВРАЩЕНИЯ**

***B. A. Пучин, M. C. Британ, C. A. Воронов,  
L. Я. Сказина, L. P. Мамчур, L. A. Косик***

Ранее нами было показано, что винильные и диеновые мономеры образуют с перекисными мономерами при невысоких глубинах полимеризации линейные реакционноспособные сополимеры [1, 2], которые можно использовать для получения модифицированных сополимеров [3] и бессерных вулканизаторов [4].

Цель настоящей работы — исследование особенностей сополимеризации перекисных мономеров со стиролом на глубоких стадиях превращения.

Таблица 1  
Характеристики ААП

Название	Формула	Условное обозначение	Содержание активного кислорода, %	
			найдено	вычислено
Диметилвинилэтилметилгидроперекись	$\text{H}_2\text{C}=\text{CH}-\text{C}\equiv\text{C}-\text{C}(\text{CH}_3)_2-\text{OOH}$	ААП-1	12,60	12,68
Метилтрет. бутилвинилэтилметилгидроперекись	$\text{H}_2\text{C}=\text{CH}-\text{C}\equiv\text{C}-\text{C}[\text{CH}_3\text{C}(\text{CH}_3)_3]-\text{OOH}$	ААП-2	9,25	9,51
Диметилвинилэтилметилтрет.бутылперекись	$\text{H}_2\text{C}=\text{CH}-\text{C}\equiv\text{C}-\text{C}(\text{CH}_3)_2-\text{OO}-\text{C}(\text{CH}_3)_3$	ААП-3	8,70	8,78
Метилтрет. бутилвинилэтилметилтрет.бутылперекись	$\text{H}_2\text{C}=\text{CH}-\text{C}\equiv\text{C}-\text{C}[\text{CH}_3\text{C}(\text{CH}_3)_3]-\text{OO}-\text{C}(\text{CH}_3)_3$	ААП-4	7,05	7,13

Характеристики используемых алканалкинных перекисей (ААП) приведены в табл. 1.

Стирол очищали по методу [5]; его константы совпадали с литературными. Скорость сополимеризации изучали в дилатометрах и ампулах при разных соотношениях мономеров, а молекулярный вес полимеров определяли вискозиметрически [6]. ИК-спектры перекиснофункциональных сополимеров снимали на двухлучевом спектрометре ИКС-14 в виде пленок из бензольного раствора на призмах NaCl и LiF.

### Результаты и их обсуждение

Характерной особенностью алканалкинных перекисей и гидроперекисей является то, что они способны проявлять свойства и мономеров, и инициаторов.

Из табл. 2 видно, что по скорости сополимеризации третичные перекисные мономеры различаются. Так ААП-1 и ААП-2 сополимеризуются со стиролом быстрее, чем близкие по структуре ААП-3 и ААП-4. Кроме того, при замене у  $\alpha$ -углеродного атома пермонаромеров ААП-1 и ААП-3 метильной группы на трет.бутильную (ААП-2 и ААП-4) скорость реакции возрастает. Таким образом, инициирующая активность и скорость сополимеризации алканалкинных перекисных мономеров зависят от разветвленности углеводородного радикала, связанного с перекисной группой. Наряду с этим характеристическая вязкость по ходу превращения возрастает, а содержание активного кислорода в перекисностирольных сополимерах понижается. Это значит, что инициирование в начальной стадии сополимеризации протекает за счет термического распада групп  $-\text{O}:\text{O}$  — перекисного

Таблица 2

Сополимеризация перекисных мономеров со стиролом и характеристики сополимеров

ААП	T, °C	ААП, мол. %	Время полимеризации, часы	Глубина превращения, %	[η], дЛ/г	Активный кислород *, вес. %
ААП-1	60	5	1,5	10,7	0,166	1,35
			11	49,0	0,202	0,90
			20	70,0	0,222	0,87
	60	1	6	28,6	0,408	0,20
			11	46,5	0,448	0,15
			19	69,1	0,498	0,13
			28	91,2	0,573	0,10
	70	2	3,5	30,5	0,238	0,40
			7	50,2	0,255	0,37
			11	68,0	0,294	0,33
			16	90,5	0,345	0,32
	70	5	2,5	30,2	0,166	0,93
			5	52,5	0,170	0,90
			15	90,0	0,241	0,64
	70	10	2	29,5	0,108	1,60
			4	48,9	0,124	1,50
			10	90,0	0,154	1,21
ААП-2	60	5	1	9,1	0,166	1,4
			5	30,1	0,171	1,15
			9	50,2	0,190	1,10
	80	5	4	11,3	0,366	0,77
			18	49,6	0,373	0,66
			38	90,0	0,392	0,50
ААП-3	80	10	3	10,5	0,210	1,40
			16	50,5	0,237	1,13
			32	90,0	0,258	0,93
	90	10	1,5	10,2	0,192	1,07
			6,5	49,4	0,199	0,92
			14	90,0	0,227	0,80
ААП-4	90	5	0,5	12,3	0,259	0,41
			2	35,0	0,263	0,37
			3	48,8	0,271	0,35

\* Определяли иодометрически [7] для сополимеров ААП-1 и ААП-2 с точностью  $\pm 0,8\text{--}1,0\%$ . Для ААП-3 и ААП-4  $\pm 5\text{--}7\%$ .

Таблица 3

Характеристика газообразных продуктов, полученных на глубоких стадиях превращения при 70°

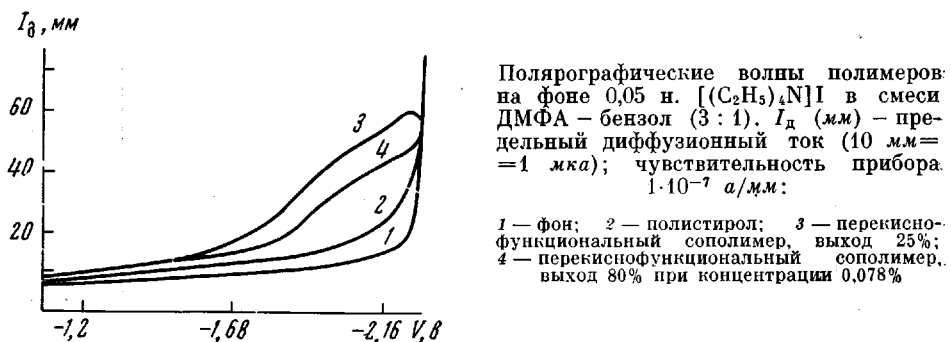
90 мол. % стирола + 10 мол. % ААП	Конверсия, %	Состав компонентов в газе, об. %							
		метан	этан	пропан	бутан	изобутиан	пентан	изопентан	олефины
ААП-1	80	97,2 22,25	0,15 0,87	0,27 2,91	0,03 0,87	0,03 48,25	0,64 —	0,04 22,15	1,31 2,60
ААП-2	75								

мономера; в дальнейшем первичные радикалы вызывают рост цепи с образованием перекисностирольных сополимеров.

Интересно отметить, что по ходу накопления пероксидатных сополимеров в системе, они также могут частично генерировать свободные радикалы различной активности за счет участия в реакции боковых перекисных связей. Особенностью сополимеризации является и то, что до глубины пре-

вращения 45—50% не наблюдается газовыделения, а в дальнейшем отмечается постепенное выделение газообразных продуктов. Газообразные продукты определяли хроматографическим методом [7].

Из табл. 3 видно, что состав газообразных продуктов зависит от структуры перекисных сомономеров. Так, при сополимеризации стирола с ААП-1 основным компонентом газовой смеси является метан (97,2%).



В структурном отношении ААП-2 отличается от предыдущего только наличием третичной группы у  $\alpha$ -углеродного атома; но, как видно, выход метана резко понижается (22,25%) и увеличивается содержание изо-бутана (48,25%) и изо-пентана (22,15%). Приведенные данные согласуются с результатами исследований Шостаковского с сотр. [8], изучавших распад неперекисных полимеров аналогичной структуры.

Образование других углеводородов можно отнести за счет протекания сопряженных реакций, связанных с термическим разложением перекисных мономеров и перекиснофункциональных сополимеров в полимерно-мономерных системах.

Таблица 4

ИК-спектроскопическая характеристика перекиснофункциональных сополимеров стирола и ААП

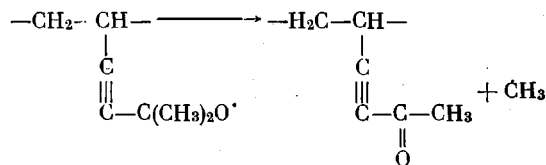
ААП	Конверсия, %	Частоты валентных колебаний, $\text{см}^{-1}$				
		$(\text{O}: \text{O})\nu$	$(\text{C} - \text{O})\nu$	$(\text{C} = \text{O})\nu$	$(\text{C} \equiv \text{C})\nu$	$(\text{OH})\nu$
ААП-1	25	821	1260	—	2235	3540 * 3363 **
	80	821	1260	1718	2235	3525 * 3363 **
ААП-2	25	876	1260	—	2235	—
	80	879	1255	1722	2235	—

\* Свободная.

\*\* Связанная водородными связями.

ИК-спектроскопическая характеристика сополимеров приведена в табл. 4, из которой следует, что основные частоты поглощения для гидроперекисно- и перекисностирольных сополимеров, выделенных при глубине превращения 25 и 80%, совпадают. Однако существенным различием является то, что в данных сополимерах, полученных на глубоких стадиях превращения, дополнительно обнаружены полосы (для гидроперекисного — 1718 и перекисного —  $1722 \text{ см}^{-1}$ ), которые можно отнести к валентным ко-

лебаниям группы C=O, образовавшейся вследствие диспропорционирования макрорадикала



Полярографические исследования (рисунок) дополнительно указывают на участие групп —O:O— сополимеров в химических превращениях. Так, в перекисностирольном сополимере (10% АПП-3), выделенном при конверсии 25%, получена волна высотой 25 мкм (кривая 3) с полуволновым потенциалом  $E_{1/2}=1,92$  в, а при конверсии 80% — высотой 16 мкм (кривая 4).

Львовский политехнический  
институт

Поступила в редакцию  
5 VI 1973

#### ЛИТЕРАТУРА

1. В. А. Пучин, Т. И. Юрженко, С. А. Воронов, М. С. Британ, Высокомолек. соед., *Б10*, 530, 1968.
2. В. А. Пучин, Диссертация, 1970.
3. В. А. Пучин, Т. И. Юрженко, А. И. Кожарский, Н. Н. Кукарина, Высокомолек. соед., *А11*, 789, 1969.
4. Т. И. Юрженко, Л. С. Чуйко, А. А. Киричек, Г. А. Блох, Каучук и резина, *12*, 6, 1966.
5. А. П. Григорьев, Практикум по технологии полимеризационных пластических масс, «Высшая школа», 1964.
6. А. И. Шатенштейн, Ю. В. Вырский, Н. А. Правикова и др., Определение молекулярных весов полимеров, «Химия», 1964.
7. Р. Д. Колесникова, Л. П. Егельская, Препартивная газовая хроматография легких углеводородов, «Химия», 1970.
8. Ю. Г. Кряжев, М. И. Черкашин, Т. И. Юшмакова, И. Д. Калихман, Е. Н. Байбордин, М. Ф. Шостаковский, Высокомолек. соед., *А11*, 700, 1969.
9. I. S. Silbert, D. Swern, Analyt. Chem., *30*, 258, 1958.

УДК 541.64:547 (538.141+313.2)

#### ПОЛУЧЕНИЕ РАДИАЦИОННОСТОЙКИХ МАТЕРИАЛОВ НА ОСНОВЕ РАДИКАЛЬНОЙ СОПОЛИМЕРИЗАЦИИ ЭТИЛЕНА СО СТИРОЛОМ ПОД ВЫСОКИМ ДАВЛЕНИЕМ

*P. A. Тертерян, С. С. Лещенко, С. Д. Лившиц,  
Ю. Л. Лелюхина, Н. С. Соболева, В. Н. Монастырский,  
В. Л. Карпов*

В настоящее время повышение радиационной стойкости полиэтилена (ПЭ) достигается тремя способами: введением в ПЭ добавок, представляющих собой мономерные вещества с ароматическими кольцами, смешением ПЭ с полистиролом (ПС) и прививкой стирола на ПЭ: Общим для всех трех способов является введение в ПЭ тем или иным путем веществ, содержащих ароматические кольца, что позволяет в два-три раза повысить стойкость ПЭ к радиационному воздействию. Это понятно, поскольку известно, что ПС, являясь одним из наиболее радиационностойких высокополимеров (радиационно-химический выход реакции спшивания для ПС в ~100 раз меньше, чем для ПЭ), а также и другие ароматические соединения осуществляют защиту с помощью «эффекта губки» [1], при этом в первых двух случаях имеет место внешняя защита, т. е. за счет добавок, не входящих